2.14-16. Квантовые алгоритмы Монте-Карло в непрерывном времени

Представление взаимодействия. Общая формулировка CTWL-алгоритма. Процедуры обновления конфигураций. Расчет средних

Недостатки дискретных методов

 Одной из главных проблем дискретных по мнимому времени квантовых методов Монте-Карло является погрешность троттеровского разложения:

$$Z = \operatorname{Tr}\left(e^{-\beta H}\right) = \operatorname{Tr}\left(\prod_{k=1}^{M} e^{-\Delta \tau(V+K)}\right) \approx \operatorname{Tr}\left(e^{-\Delta \tau V} e^{-\Delta \tau K} \dots e^{-\Delta \tau V} e^{-\Delta \tau K}\right) + O((\Delta \tau)^{2})$$

- Систематическая погрешность разложения приводит к невозможности расчетов при достаточно низких температурах; кроме того, проблема неэргодичности схем расчета траекторных методов, связанная с локальностью алгоритма шахматной доски и трудностями расчета winding numbers, функций Грина и других нелокальных корреляторов, а также с работой алгоритма при постоянном числе частиц, тоже ограничивает эффективность использования дискретных методов
- Малая вероятность обновления траекторий. Вероятность создания пары кинк антики $\frac{W_{new}}{tr} \propto (t\Delta au)^2$

CTWL-алгоритм

- В 1996 г. Прокофьев, Свистунов и Тупицын предложили новый квантовый метод МК – траекторный метод в непрерывном времени (английская аббревиатура – CTWL, Continuous-Time World Line)
- Метод основывается на точном выражении для разбиения статистической суммы в представлении взаимодействия
- Метод свободен от систематической ошибки, связанной с троттеровским разбиением мнимого времени, и может быть применен для исследования достаточно произвольных решеточных (и не только) моделей; возможны расчеты как в малом, так и большом каноническом ансамблях
- СТWL-алгоритм напрямую суммирует ряды диаграмм для моделей в дискретном и непрерывном базисах

Представление взаимодействия

- Разобьем гамильтониан системы на основную часть и возмущение; это разбиение условно и диктуется только конкретной моделью и удобством работы с конкретными базисными функциями $H = H_0 + H_{int}$
- Мацубаровский оп $\epsilon_e^{-\tau H} = e^{-\tau (H_0 + H_{int})} = e^{-\tau H_0} \sigma(\tau)$ $e^{\tau H} = \sigma^{-1}(\tau) e^{\tau H_0}$
- ullet Вид оператор $H(au) = e^{ au H_0} H e^{- au H_0}; \ \ H_{int}(au) = e^{ au H_0} H_{int} e^{- au H_0}$
- $oldsymbol{\sigma}$ Уравнение для ма $\sigma(au) = T_ au \exp\left(-\int\limits_0^ au H_{int}(au')\,d au'
 ight)$ Золюции
- Упорядочение по времени для двух произвольных операторов: $T_{\tau}\{A(\tau_1)B(\tau_2)\} = \left\{ \begin{array}{ll} A(\tau_1)B(\tau_2), & \tau_1 > \tau_2; \\ +B(\tau_2)A(\tau_1), & \tau_1 < \tau_2 \end{array} \right.$

Представление взаимодействия

Свойства мацубаровского оператора эволюции:

$$\sigma(\tau_1, \tau_3) = \sigma(\tau_1, \tau_2) \sigma(\tau_2, \tau_3); \quad \tau_1 > \tau_2 > \tau_3
\sigma(\tau_1, \tau_2) = \sigma(\tau_1) \sigma^{-1}(\tau_2)$$

Статистическая сумма системы:

$$Z = \operatorname{Tr}(e^{-\beta H}) = \operatorname{Tr}(e^{-\tau H_0}\sigma(\beta))$$
$$\sigma(\beta) = T_{\tau} \exp\left(-\int_{0}^{\beta} H_{int}(\tau)d\tau\right)$$

Мацубаровская функция і рина в представлении взаимодействия:

$$\begin{split} G_{\sigma_{1}\sigma_{2}}(i,j;\tau_{1},\tau_{2}) &= e^{\beta F} \begin{cases} -\text{Tr} \big[e^{-\beta H_{0}} \sigma(\beta,\tau_{1}) a_{i\sigma_{1}}(\tau_{1}) \sigma(\tau_{1},\tau_{2}) a_{j\sigma_{2}}^{+}(\tau_{1}) \sigma(\tau_{2}) \big]; & \tau_{1} > \tau_{2} \\ \mp \text{Tr} \big[e^{-\beta H_{0}} \sigma(\beta,\tau_{2}) a_{j\sigma_{2}}^{+}(\tau_{1}) \sigma(\tau_{2},\tau_{1}) a_{i\sigma_{1}}(\tau_{1}) \sigma(\tau_{1}) \big]; & \tau_{1} < \tau_{2} \end{cases} \\ e^{\beta F} &= \text{Tr} \big(e^{-\beta H} \big) = \text{Tr} \big(e^{-\beta H_{0}} \sigma(\beta) \big) \end{split}$$

С учетом временного упорядочения:

$$G_{\sigma_{1}\sigma_{2}}(i,j;\tau_{1},\tau_{2}) = -\frac{1}{Z} \text{Tr} \left(e^{-\beta H_{0}} T_{\tau} \left\{ a_{i\sigma_{1}}(\tau_{1}) a_{j\sigma_{2}}^{+}(\tau_{1}) \sigma(\beta) \right\} \right)$$

Ряд возмущений для статистической суммы

• Разложение по степеням возмущения для мацубаровского оператора эвопюнии.

$$\sigma(\beta) = 1 - \int_{0}^{\beta} V(\tau) d\tau + \frac{1}{2} \int_{0}^{\beta} d\tau' \int_{0}^{\beta} d\tau'' T_{\tau} \{V(\tau')V(\tau'')\} - \dots =$$

$$= \sum_{n=0}^{\infty} \frac{(-1)^{n}}{n!} \int_{0}^{\beta} d\tau_{1} \dots \int_{0}^{\beta} d\tau_{n} T_{\tau} \{V(\tau_{1}) \dots V(\tau_{n})\}$$

• Выражение для $\overset{n=0}{\text{статисти}}^{\text{ческой}}$ еской суммы:

$$Z = \text{Tr}\left(e^{-\beta H_0} \left[1 - \int_0^\beta d\tau \, V(\tau) + \int_0^\beta d\tau_1 \int_0^{\tau_1} d\tau_2 \, V(\tau_1) V(\tau_2) - \dots\right]\right)$$

Дискретный аналог:

$$Z = \sum_{N=0}^{\infty} \sum_{\substack{\{n_1, n_2, \dots, n_N\} \\ \boldsymbol{\tau}_1 < \boldsymbol{\tau}_2 < \dots < \boldsymbol{\tau}_N \\ \boldsymbol{\tau}_{N+1} \equiv \boldsymbol{\tau}_1}} (-\Delta \boldsymbol{\tau})^N \prod_{k=0}^{N} \left(\langle n_k | V(\boldsymbol{\tau}_k) | n_{k+1} \rangle e^{-(\boldsymbol{\tau}_{k+1} - \boldsymbol{\tau}_k) E_k} \right)$$

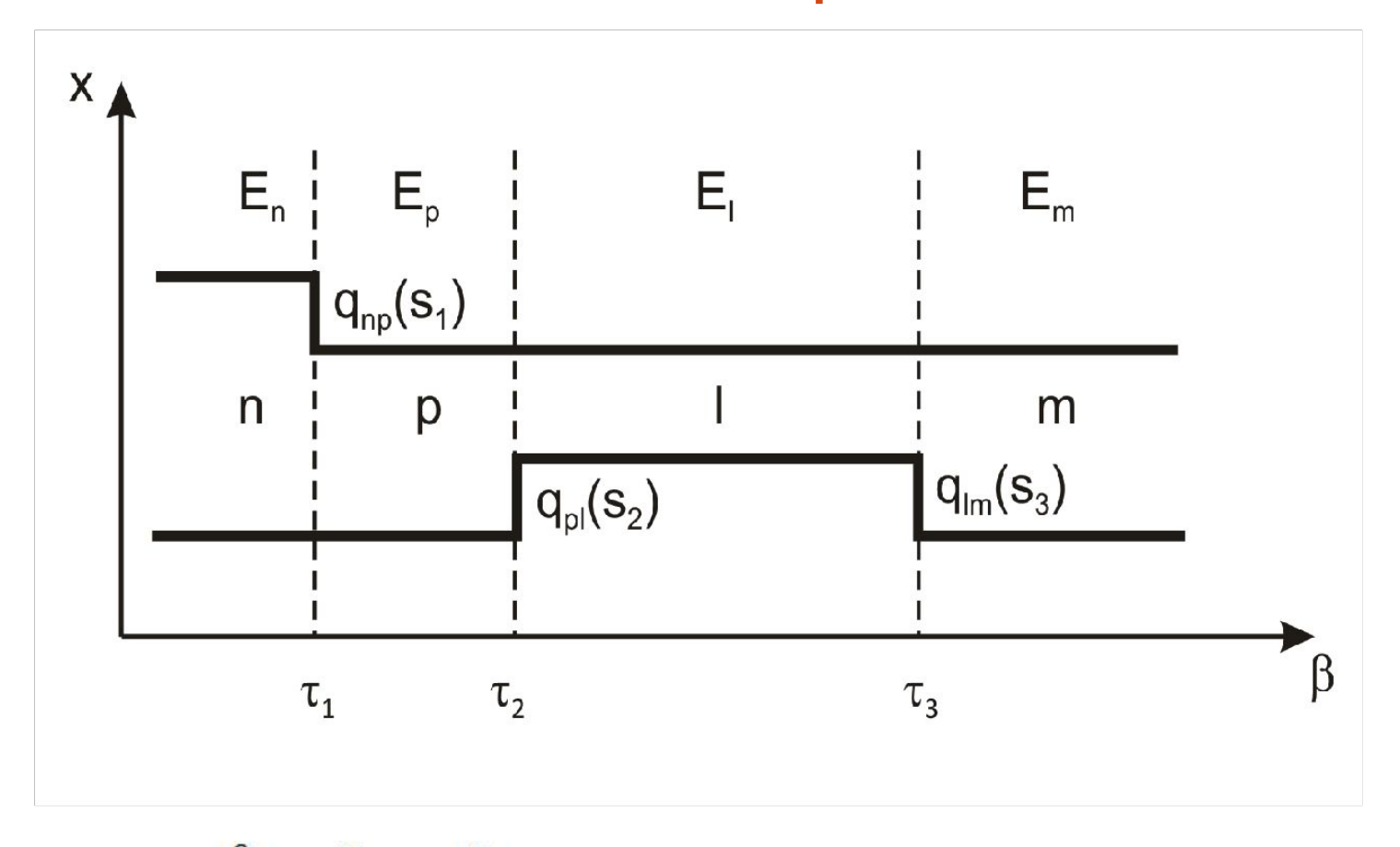
Недиагональная часть гамильтониана:

$$V = \sum Q_s; \quad Q_s |n\rangle = -q_{mn}(s)|m\rangle$$

Разложение оператора эволюции:

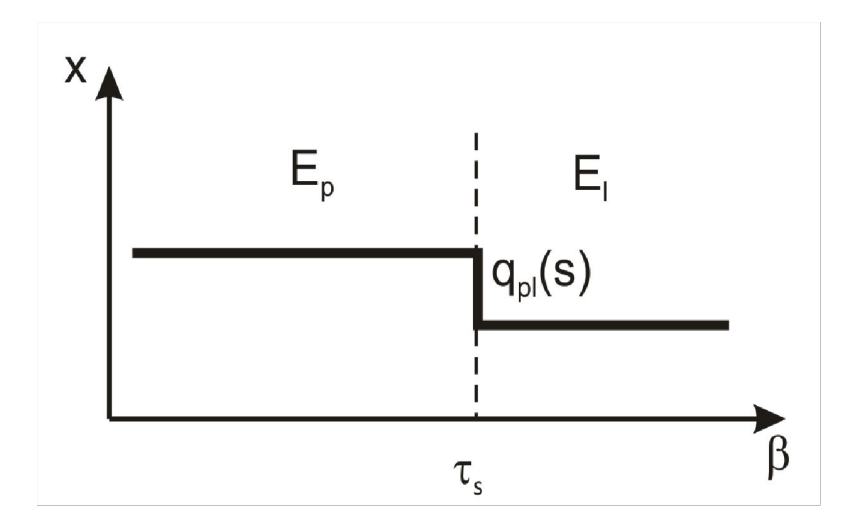
$$\sigma_{nm} = \delta_{nm} + \sum_{s} \int_{0}^{\beta} d\tau \ q_{nm}(s) e^{\tau E_{nm}} + \dots + \sum_{s} \int_{0}^{\beta} d\tau_{k} \dots \int_{0}^{\tau_{2}} d\tau_{1} \ q_{np}(s_{p}) e^{\tau_{k} E_{np}} \dots q_{lm}(s_{1}) e^{\tau_{1} E_{lm}} + \dots$$

 Теперь мгновенную конфигурацию системы составляет совокупность кинков с соответствующими энергиями переходов и временными интервалами



$$\sum_{s_1, s_2, s_3} \int_0^\beta d\tau_3 \int_0^{\tau_3} d\tau_2 \int_0^{\tau_2} d\tau_1 \, q_{np}(s_1) e^{\tau_1 E_{np}} q_{pl}(s_2) e^{\tau_2 E_{pl}} q_{lm}(s_3) e^{\tau_3 E_{lm}}$$

 Главный элемент конфигурации – кинк сорта s и его параметры – матричный элемент, диагональная энергия переходов и его положение на временной шкале:



 Фактически СТWL-метод Монте-Карло производит полное суммирование фейнмановских диаграмм

CTWL-алгоритм для дискретного базиса

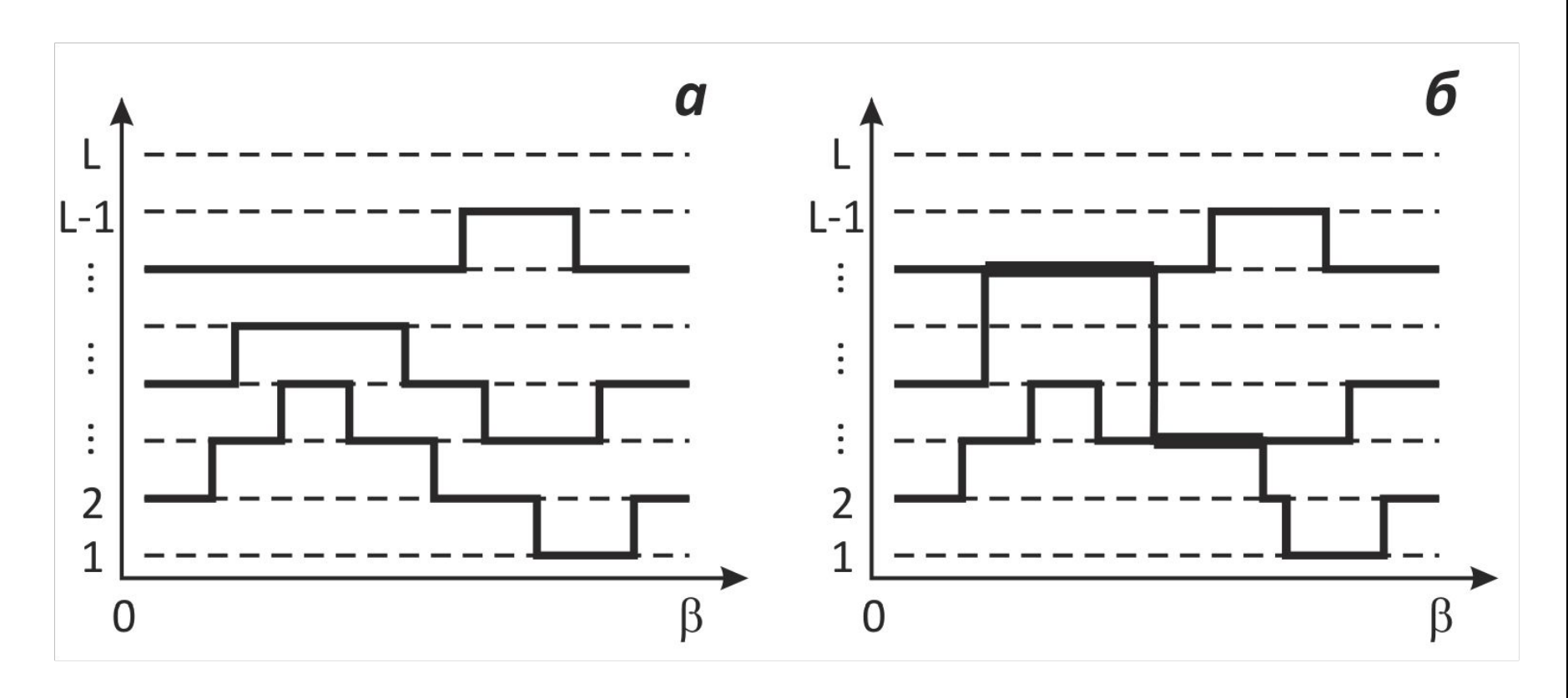
$$H = -\sum_{ij} t_{ij} (a_i^+ a_j + h.c.) + \sum_i \Delta_i n_i + \sum_{ij} V_{ij} n_i n_j$$

 Удобным базисом для узельной модели является представление чисел заполнения, так что за возмущение выбирается недиагональная в этом базисе кинетическая энергия, и тогда кинком является перескок частицы между узлами:

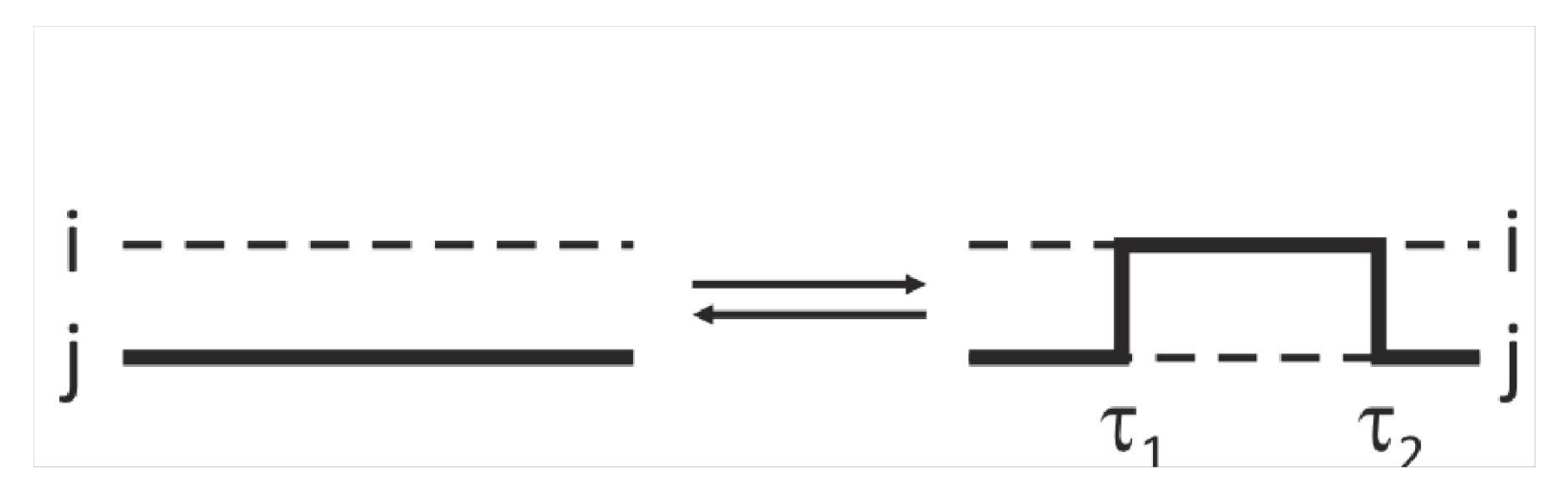
$$\sqrt{n_i(n_j+1)}t_{ij}d\tau e^{\tau(\Delta_i-\Delta_j)}$$

Каждый кинк вносйт в статистический вес малый множитель ~dт, но это не препятствует вычислениям – взвешивается не отдельная конфигурация, а их совокупность в некотором интервале. Малость статистического веса в точности компенсируется большим количеством возможных топологически равных конфигураций, отличающихся только расположением времен на шкале мнимого времени

• Вид мгновенных конфигураций для ферми- и бозе-систем:



 Простейший способ изменения конфигурации – процедура kink-antikink:



• Помимо процедуры *kink-antikink* требуются глобальные обновления системы, изменяющие числа оборотов траекторий

• Проводить вычисления более удобно в большом каноническом ансамбле, т.е. с нефиксированным числом частиц. Для того чтобы схема могла работать с переменным числом частиц, в гамильтониан можно ввести фиктивное слагаемое:

$$\Delta H = \eta \sum_{i} (a_i^+ + a_i)$$

 Фиктивному слагаемому в гамильтониане соответствуют кинки, создающие разрывы траекторий. При расчете физических величин учитываются только те конфигурации, в которых нет разрывов траекторий. Фиктивные конфигурации используются только как промежуточные для эффективного обновления реальных конфигураций

$$i \xrightarrow{\qquad \qquad \qquad } \frac{n_i}{\tau} - \frac{n_i-1}{\tau}$$

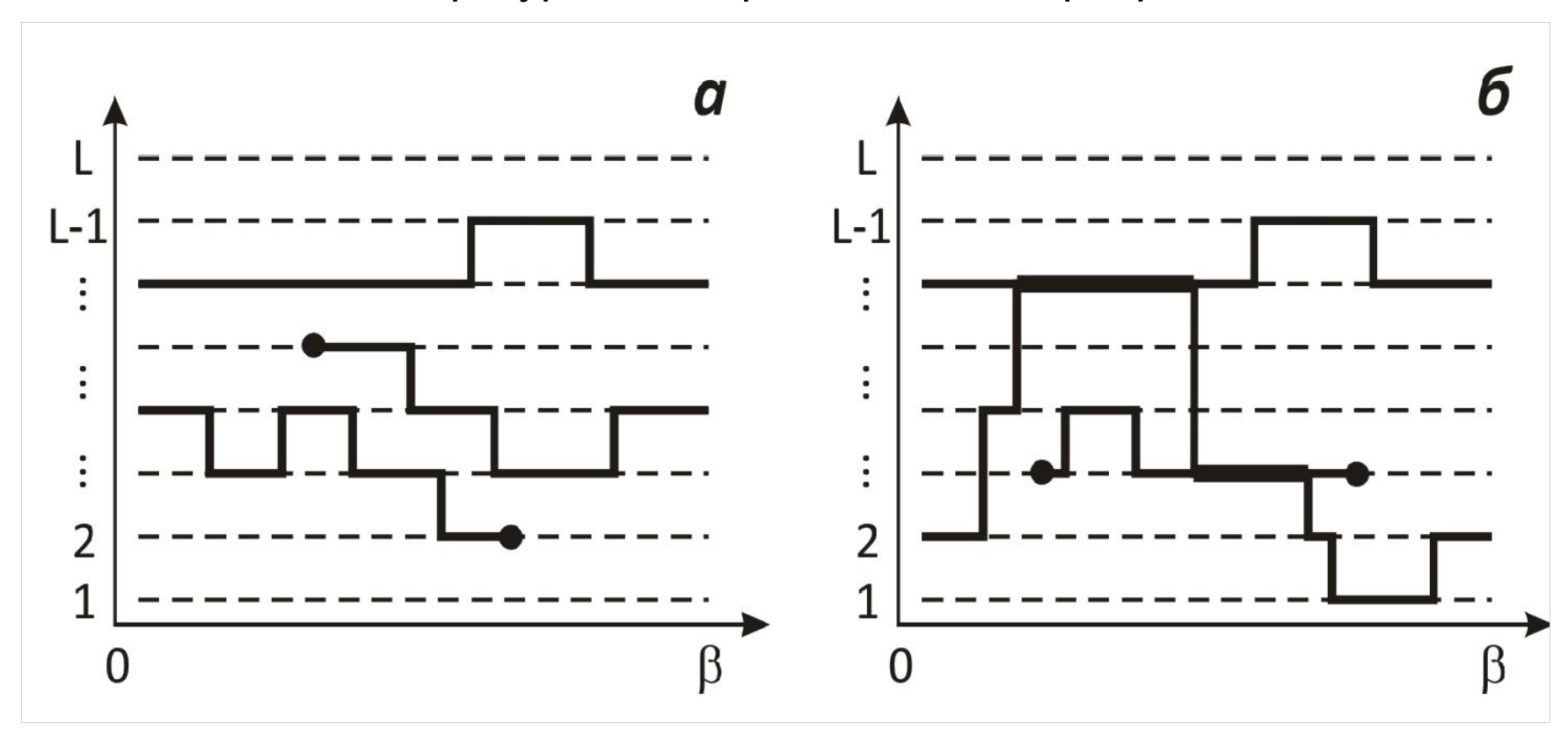
$$-\sqrt{n_i} \eta d\tau e^{\tau(\Delta_i - \mu)}$$

$$i \xrightarrow{\qquad \qquad } \frac{n_i+1}{\tau}$$

$$-\sqrt{n_i+1} \eta d\tau e^{-\tau(\Delta_i - \mu)}$$

- Теперь множество вариантов конфигураций с замкнутыми траекториями оказалось дополненным фиктивными конфигурациями траекторий с разрывами
- Разрывы, перемещаясь по системе, могут встречаться и взаимно уничтожаться на любом узле, изменяя полное число частиц в системе и числа оборотов траекторий. Разомкнутые траектории с разрывами называются червями (worms), а сам алгоритм называется червячным алгоритмом (worm algorithm)
- Фиктивные (виртуальные) состояния с присутствием червей чрезвычайно ускоряют сходимость

• Мгновенные конфигурации мировых линий с разрывами:



- Квантово-механические средние от физических величин попрежнему вычисляются по состояниям без разрывов
- Фиктивные состояния также несут физическую информацию, например, они отражают статистику мацубаровской функции Грина
- Главные процессы обновления траекторий, формирующие статистику, – процедуры изменения состояний разрывов траекторий (червей)
- В статистический вес конфигурации без разрывов множитель η не входит, а потому соотношения между статистическими весами состояний без червей остаются неизменными. Следовательно, значение η можно выбирать произвольно, исходя из соображений удобства и скорости расчета
- В зависимости от задачи можно либо ввести ограничение на количество червей в системе, либо допустить возможность появления произвольного числа червей

Процедура creation-annihilation

Пара процессов creation-annihilation:

$$\begin{matrix} a & \cdots & \longrightarrow & \longrightarrow & \cdots \\ \hline a & \longrightarrow & \longrightarrow & \longrightarrow & \longrightarrow & \cdots \\ \hline a & \longrightarrow & \longrightarrow & \longrightarrow & \longrightarrow & \longrightarrow & \cdots \\ \hline a & \longrightarrow & \longrightarrow & \longrightarrow & \longrightarrow & \longrightarrow & \cdots \\ \hline a & \longrightarrow & \longrightarrow & \longrightarrow & \longrightarrow & \longrightarrow & \cdots \\ \hline a & \longrightarrow \\ \hline a & \longrightarrow \\ \hline a & \longrightarrow & \longrightarrow & \longrightarrow & \longrightarrow & \longrightarrow & \longrightarrow \\ \hline a & \longrightarrow & \longrightarrow & \longrightarrow & \longrightarrow & \longrightarrow & \longrightarrow \\ \hline a & \longrightarrow & \longrightarrow & \longrightarrow & \longrightarrow & \longrightarrow & \longrightarrow \\ \hline a & \longrightarrow & \longrightarrow & \longrightarrow & \longrightarrow & \longrightarrow & \longrightarrow \\ \hline a & \longrightarrow & \longrightarrow & \longrightarrow & \longrightarrow & \longrightarrow & \longrightarrow \\ \hline a & \longrightarrow & \longrightarrow & \longrightarrow & \longrightarrow & \longrightarrow \\ \hline a & \longrightarrow & \longrightarrow & \longrightarrow & \longrightarrow & \longrightarrow \\ \hline a & \longrightarrow & \longrightarrow & \longrightarrow & \longrightarrow & \longrightarrow \\ \hline a & \longrightarrow & \longrightarrow & \longrightarrow & \longrightarrow & \longrightarrow \\ \hline a & \longrightarrow & \longrightarrow & \longrightarrow & \longrightarrow & \longrightarrow \\ \hline a & \longrightarrow & \longrightarrow & \longrightarrow & \longrightarrow & \longrightarrow \\ \hline a & \longrightarrow & \longrightarrow & \longrightarrow & \longrightarrow \\ \hline a & \longrightarrow & \longrightarrow & \longrightarrow & \longrightarrow \\ \hline a & \longrightarrow & \longrightarrow & \longrightarrow & \longrightarrow \\ \hline a & \longrightarrow & \longrightarrow & \longrightarrow & \longrightarrow \\ \hline a & \longrightarrow & \longrightarrow & \longrightarrow & \longrightarrow \\ \hline a & \longrightarrow & \longrightarrow & \longrightarrow \\ \hline a & \longrightarrow & \longrightarrow & \longrightarrow & \longrightarrow \\ \hline a & \longrightarrow & \longrightarrow & \longrightarrow \\ \hline a & \longrightarrow & \longrightarrow & \longrightarrow \\ \hline a & \longrightarrow & \longrightarrow & \longrightarrow \\ \hline a & \longrightarrow & \longrightarrow & \longrightarrow \\ \hline a & \longrightarrow & \longrightarrow & \longrightarrow \\ \hline a & \longrightarrow & \longrightarrow & \longrightarrow \\ \hline a & \longrightarrow & \longrightarrow & \longrightarrow \\ \hline a & \longrightarrow & \longrightarrow & \longrightarrow \\ \hline a & \longrightarrow & \longrightarrow & \longrightarrow \\ \hline a & \longrightarrow & \longrightarrow & \longrightarrow \\ \hline a & \longrightarrow & \longrightarrow & \longrightarrow \\ \hline a & \longrightarrow & \longrightarrow & \longrightarrow \\ \hline a & \longrightarrow & \longrightarrow & \longrightarrow \\ \hline a & \longrightarrow & \longrightarrow & \longrightarrow \\ \hline a & \longrightarrow & \longrightarrow & \longrightarrow \\ \hline a & \longrightarrow & \longrightarrow & \longrightarrow \\ \hline a & \longrightarrow & \longrightarrow & \longrightarrow \\ \hline a & \longrightarrow & \longrightarrow & \longrightarrow \\ \hline a & \longrightarrow & \longrightarrow \\ \hline a & \longrightarrow & \longrightarrow & \longrightarrow \\ \hline a & \longrightarrow & \longrightarrow \\ \hline a$$

• Статистический вес новой конфигурации:

$$W^{(new)} = W^{(old)}(-\eta_i d\tau \sqrt{n_i + 1})^2 e^{-(\tau_2 - \tau_1)(\Delta_i - \mu)}$$

• Уравнение детального баланса:

$$W^{(old)}P_{\rightarrow}p_{\rightarrow} = W^{(new)}P_{\leftarrow}p_{\leftarrow}$$

Согласно алгоритму Метрополиса

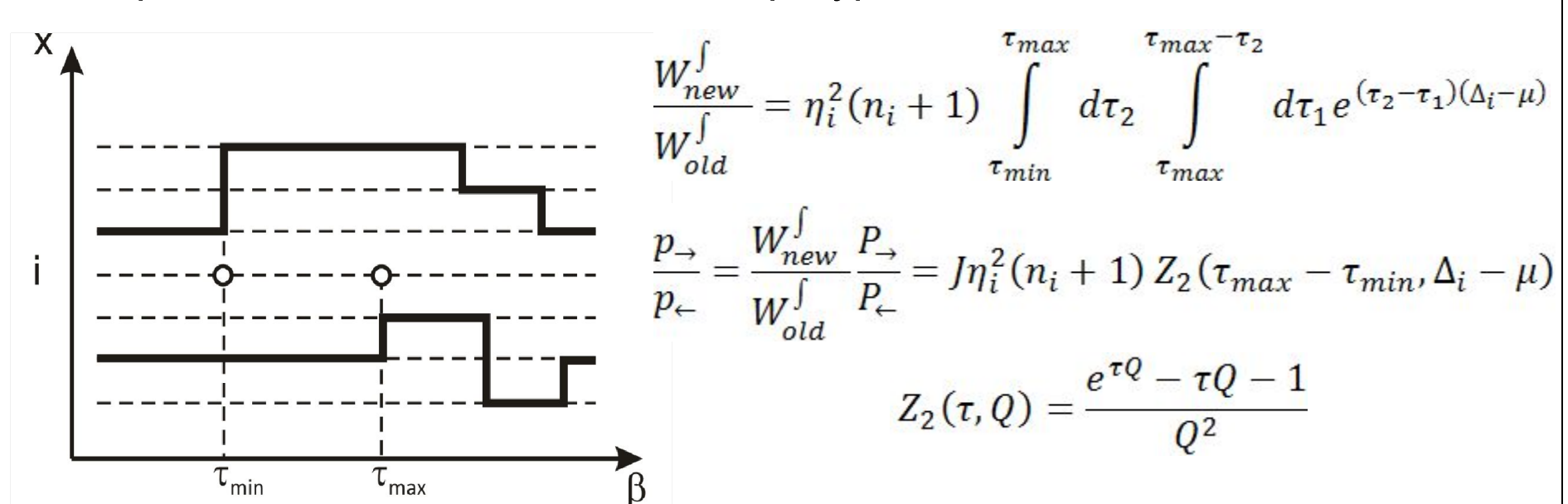
$$\frac{p_{\to}}{p_{\leftarrow}} = \begin{cases} W_c = \frac{W^{(new)}}{W^{(old)}} \frac{P_{\to}}{P_{\leftarrow}} = J(-\eta_i d\tau \sqrt{n_i + 1})^2 e^{-(\tau_2 - \tau_1)(\Delta_i - \mu)}, & W_c < 1; \\ 1, & W_c \ge 1 \end{cases}$$

Процедура creation-annihilation

• Такая реализация процедуры неэффективна:

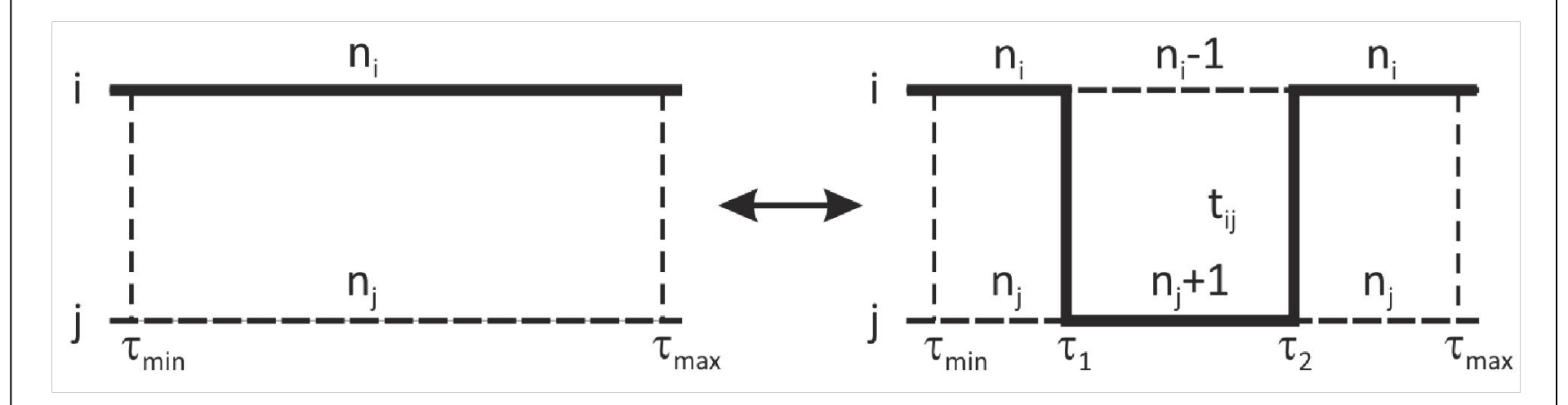
$$\frac{p_{\rightarrow}}{p_{\nu}} \sim (d\tau)^2 \rightarrow 0$$

- Нужно сравнивать не две конкретные конфигурации, а классы конфигураций
- Временное окно для класса конфигураций:



Процедура рождения пары кинк-антикинк

• Процедуры рождения и уничтожения пары кинк-антикинк с изменением чисел заполнения:



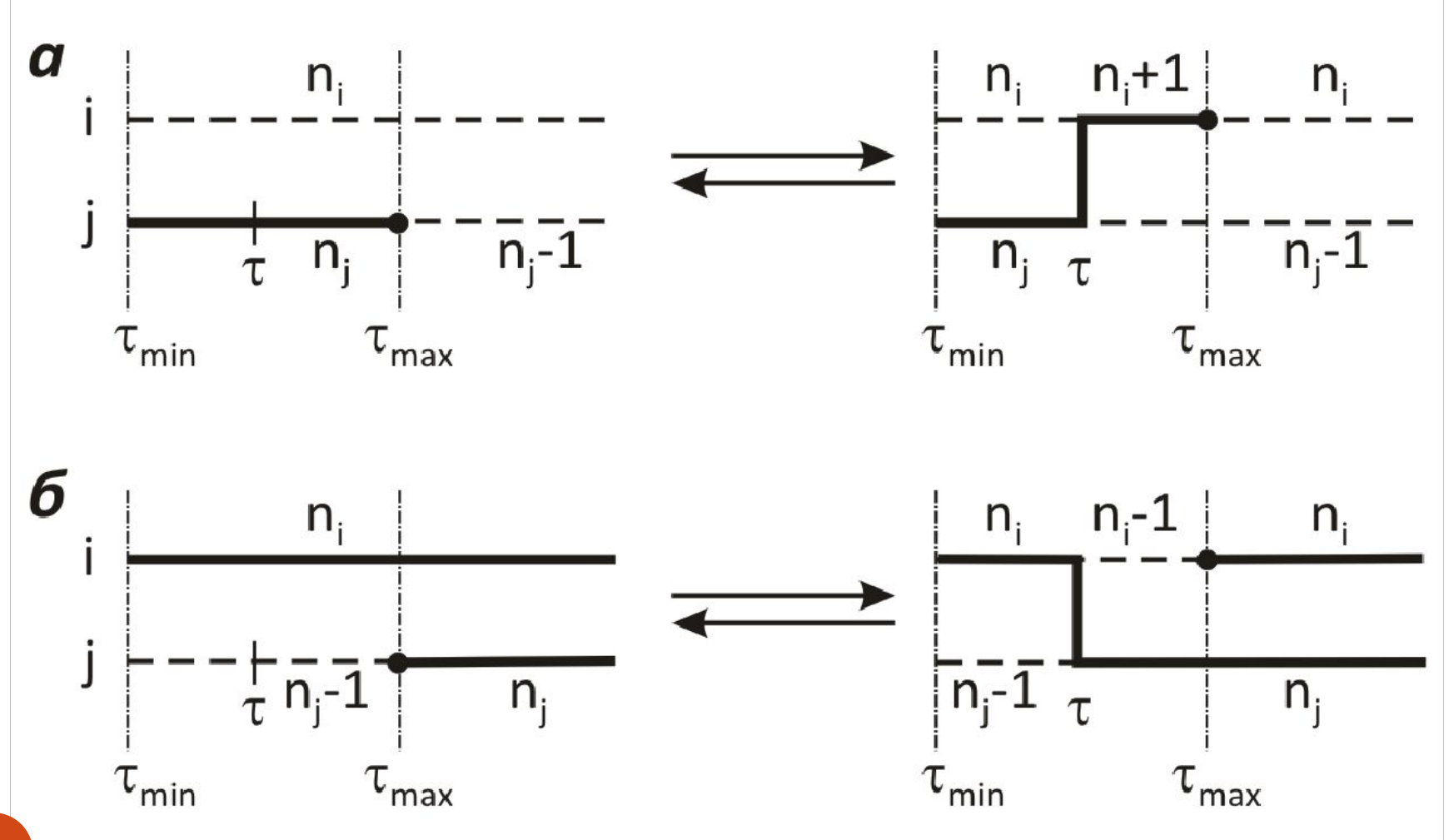
Процедура рождения пары кинк-антикинк

• Формулы для балансного уравнения:

$$\frac{p_{\rightarrow}}{p_{\leftarrow}} = \begin{cases} W_c = \frac{W^{(new)}}{W^{(old)}} \frac{P_{\rightarrow}}{P_{\leftarrow}} = \\ = \frac{J}{J+4} t_{ij}^2 n_i (n_j + 1) Z_2 (\tau_{max} - \tau_{min}, \Delta_j - \Delta_i), W_c < 1, \\ 1, W_c \ge 1 \end{cases}$$

$$\frac{p_{\leftarrow}}{p_{\rightarrow}} = \begin{cases} W_{a} = \frac{W^{(old)}}{W^{(new)}} \frac{P_{\leftarrow}}{P_{\rightarrow}} = \\ = \frac{J - 4}{J} \frac{1}{t_{ij}^{2} n_{i} (n_{j} + 1) Z_{2} (\tau_{max} - \tau_{min}, \Delta_{j} - \Delta_{i})}, W_{a} < 1, \\ 1, W_{a} \ge 1 \end{cases}$$

Процедуры jump-antijump и reconnection-antireconnection



Процедуры jump-antijump и reconnection-antireconnection

 Процедура jump-antijump – процесс переброса хвоста траектории на другой пространственный узел

$$W^{(old)} \sim (-d\tau \eta_i \sqrt{n_i}) e^{-(\tau_{max} - \tau_{min})(\Delta_i - \mu)}$$

$$W^{(new)} \sim \left(-d\tau \eta_j \sqrt{n_j+1}\right) \left(d\tau t_{ij} \sqrt{n_i(n_j+1)}\right) \times e^{-(\tau_{max}-\tau_{min})(\Delta_i-\mu)} e^{-(\tau-\tau_{min})(\Delta_j-\mu)}$$

$$\frac{W^{(new)}}{W^{(old)}} = d\tau t_{ij} \frac{\eta_j}{\eta_i} (n_j + 1) e^{(\tau - \tau_{min})(\Delta_j - \Delta_i)}$$

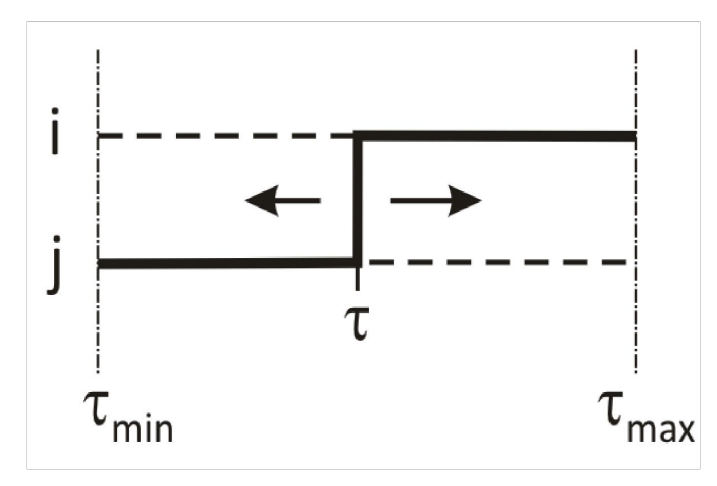
 Сравним теперь исходную траекторию с прямым хвостом с классом траекторий, у которых прыжок червя (кинк) не фиксирован по времени

Процедуры jump-antijump и reconnection-antireconnection

• Для класса траекторий:

$$\begin{split} \frac{W_{new}^{\int}}{W_{old}^{\int}} &= t_{ij} \frac{\eta_{j}}{\eta_{i}} (n_{j} + 1) Z_{1}(\tau_{max} - \tau_{min}, Q); \qquad Z_{1}(\tau, Q) = \frac{e^{\tau Q} - 1}{Q} \\ \frac{p_{\rightarrow}}{p_{\leftarrow}} &= \begin{cases} W_{jump} = z \frac{W^{(new)}}{W^{(old)}} W_{\rightarrow}(\tau) = \\ &= z t_{ij} \frac{\eta_{j}}{\eta_{i}} (n_{j} + 1) Z_{1}(\tau_{max} - \tau_{min}, Q), & W_{jump} < 1; \\ 1, & W_{jump} \geq 1 \end{cases} \\ \frac{p_{\leftarrow}}{p_{\rightarrow}} &= \begin{cases} W_{antijump} = \frac{W^{(old)}}{z W^{(new)} W_{\rightarrow}(\tau)} = \\ &= \frac{\eta_{i}}{z \eta_{j} t_{ij} (n_{j} + 1) Z_{1}(\tau_{max} - \tau_{min}, Q)}, & W_{antijump} < 1; \\ 1, & W_{antijump} \geq 1 \end{cases} \end{split}$$

Процедура shift



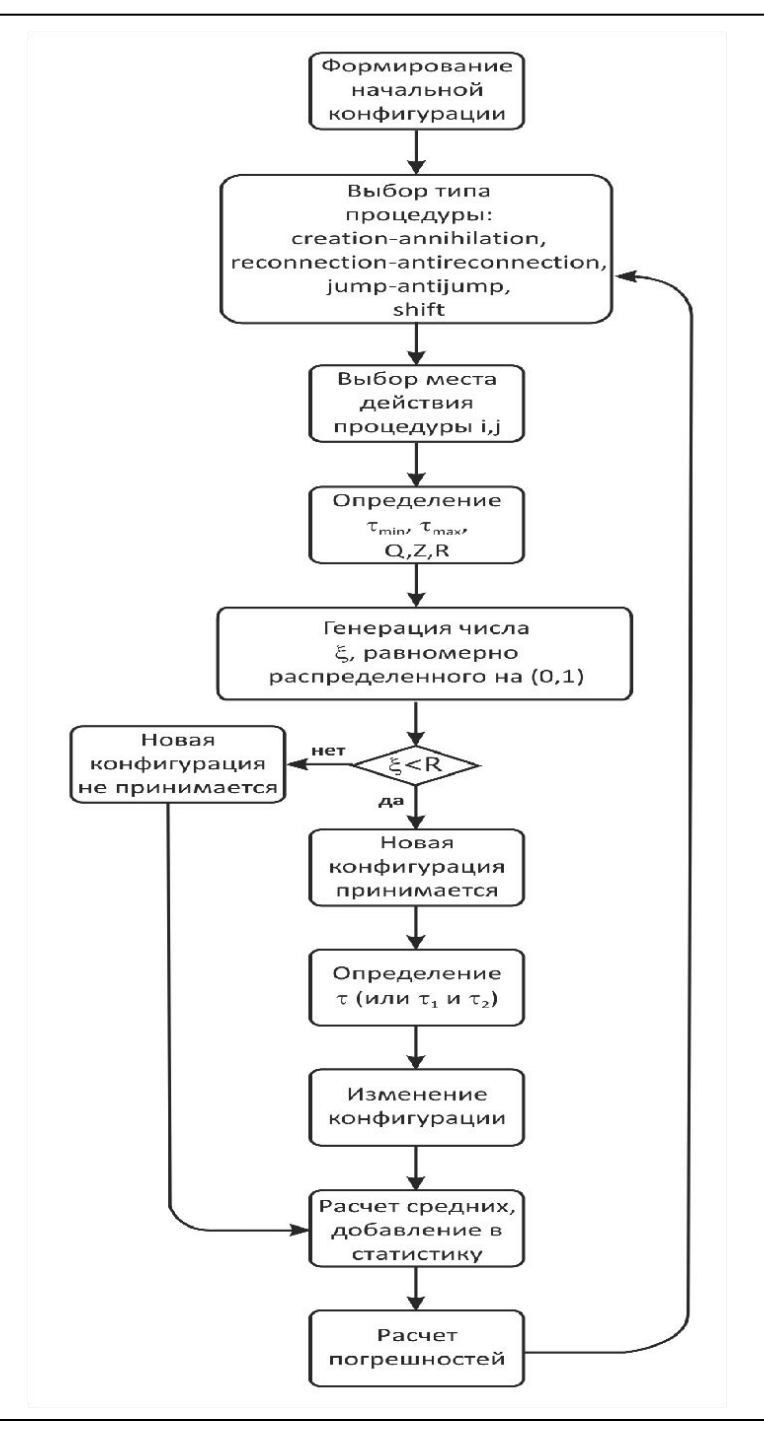
 Процедура сдвига не нуждается в обратном процессе, потому что самf себе служит обратным процессом

$$W(\tau) = \frac{1}{Z_1} e^{(\tau - \tau_{min})Q};$$
 $R \equiv \frac{p_{\rightarrow}}{p_{\leftarrow}} = 1$

• Процедура сдвига происходит безусловно

Схема алгоритма

- Формируется начальная конфигурация это могут быть, например, прямые замкнутые линии без перескоков. Можно взять в качестве начального состояния вообще пустое пространство с отсутствием частиц или любую другую допустимую конфигурацию
- Случайным образом выбирается тип процедуры
- Выбирается место действия процедуры и границы временного окна
- Рассчитываются коэффициента и нормировочные множители
- В зависимости от значения R процесс случайным образом принимается или отвергается
- Для некоторых процессов определяются временные точки
- Рассчитываются и суммируются необходимые средние от физических величин. Затем процесс повторяется, начиная с п. 2
- Все погрешности величин рассчитываются в соответствии с автокорреляционным анализом



Расчет средних

Среднее значение оператора:

$$\langle A \rangle = \frac{\sum_{n} \langle n | A e^{-\beta H} | n \rangle}{\sum_{n} \langle n | e^{-\beta H} | n \rangle} = \frac{\sum_{MC} \langle n_1 | A | n_1 \rangle \operatorname{sgn} W}{\sum_{MC} \operatorname{sgn} W}$$

Кинетическая энергия:

$$\langle K \rangle = -\frac{1}{\beta} \frac{\sum_{MC} N_{kink} \operatorname{sgn} W}{\sum_{MC} \operatorname{sgn} W}$$

 Диагональные средние, например число частиц, потенциальная энергия, рассчитываются легко. Для этого следует на каждом диагональном участке траекторий рассчитать произведение значения соответствующего оператора на этом участке на длину этого участка, и затем усреднить результат по всей конфигурации:

$$\langle N \rangle = \langle \frac{1}{\beta} \sum_{I} n(\tau_{I}) \tau_{J} \rangle; \qquad \langle V \rangle = \langle \frac{1}{\beta} \sum_{I} V(\tau_{I}) \tau_{J} \rangle$$

Расчет средних

 Для расчета недиагональных средних следует производить сбор статистики по фиктивным состояниям. Сбор гистограммы по взаимному пространственно-временному положению двух хвостов червя приводит к расчету температурной функции Грина:

$$G_{\sigma_1\sigma_2}(i,j;\tau) = -\operatorname{Tr}\left(a_{i\sigma_1}(\tau)a_{j\sigma_2}^+(0)\right); \quad 0 < \tau < \beta$$

 и ее предельного случая при равных временах – матрицы плотности:

$$\langle a_{i\sigma}^+ a_{j\sigma} \rangle = G_{\sigma\sigma}(i,j;\tau)|_{\tau \to -0}$$

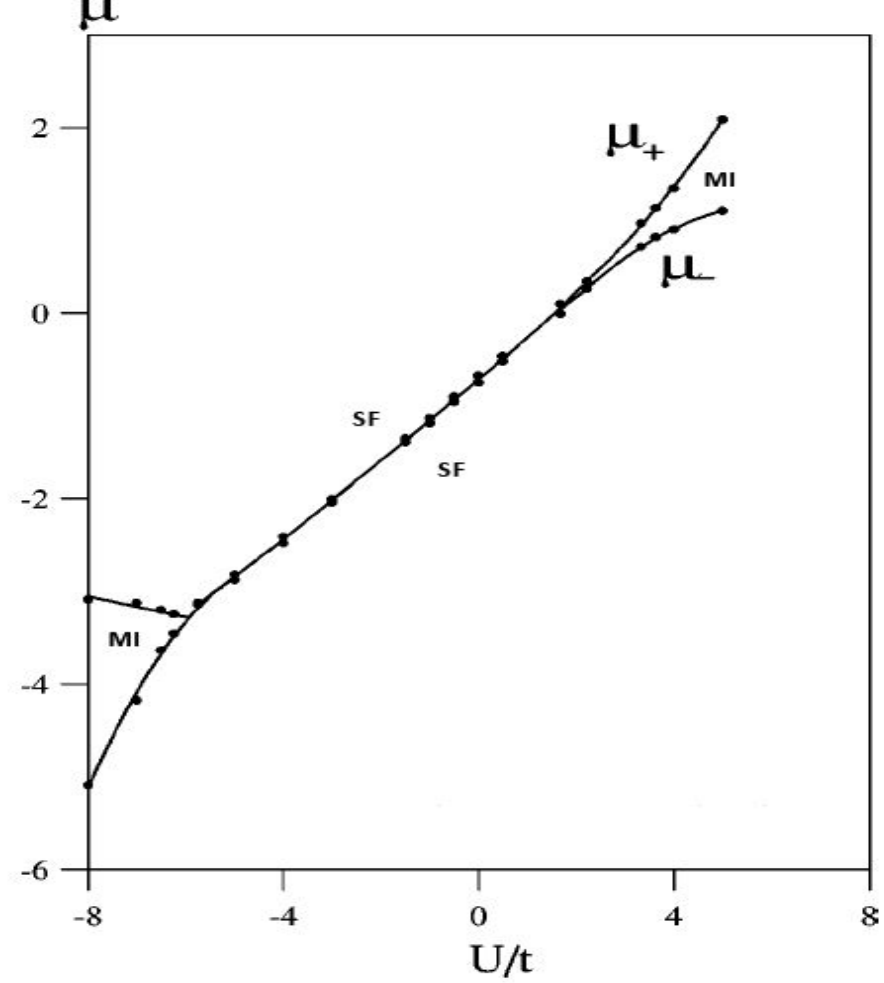
• Нормировка:

$$G_{\sigma_1\sigma_2}(i,j;\tau)\big|_{i=i:\sigma_1=\sigma_2=\sigma:\tau\to -0}=\langle n_{i\sigma}\rangle$$

Примеры расчетов при помощи CTWL-алгоритма

• Фазовая диаграмма редуцированной одномерной модели Бозе –

Хаббарда:



Примеры расчетов при помощи CTWL-алгоритма

 Эволюция одночастичной матрицы плотности в зависимости от плотности системы в двумерной модели Бозе – Хаббарда:

